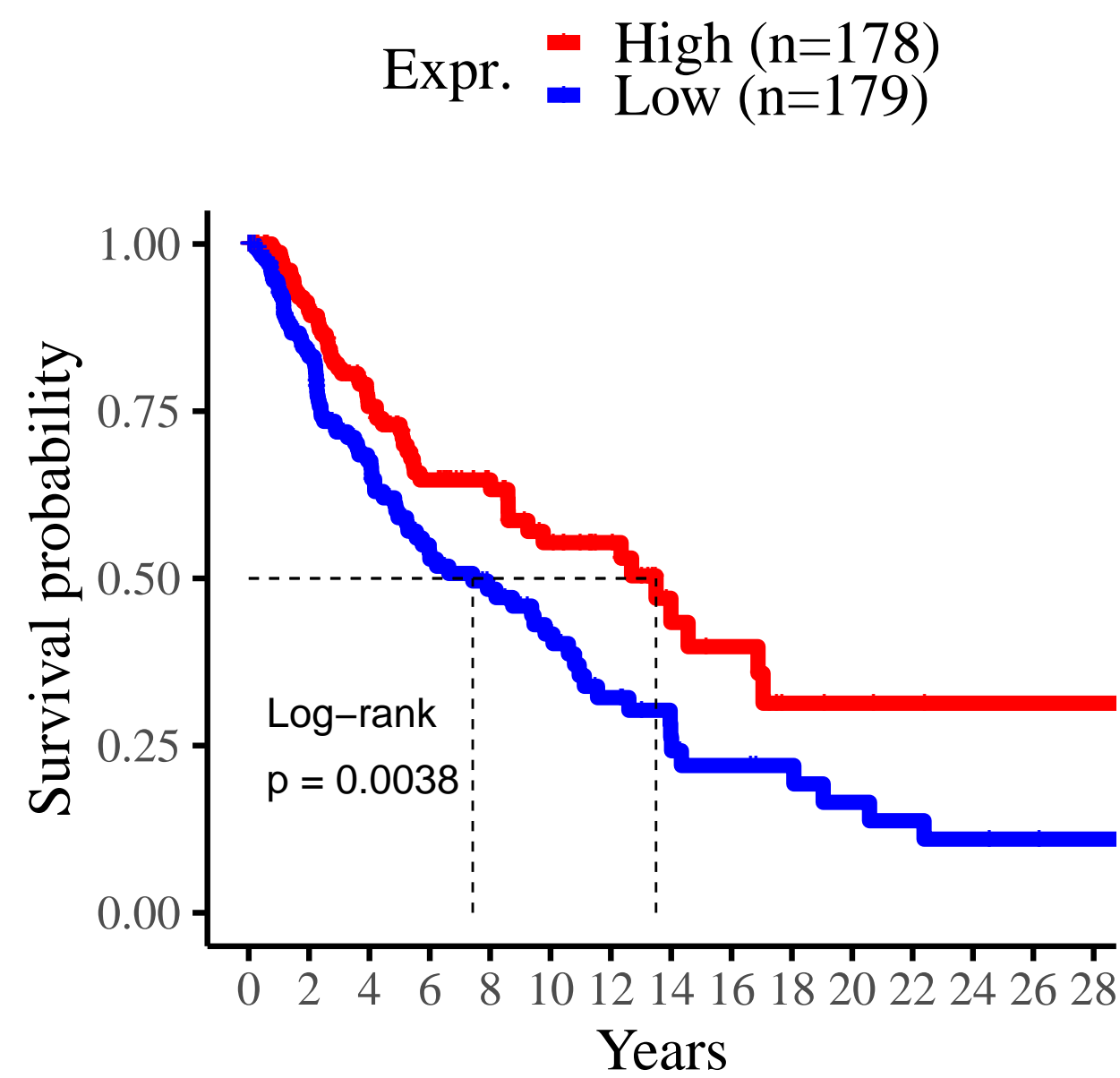
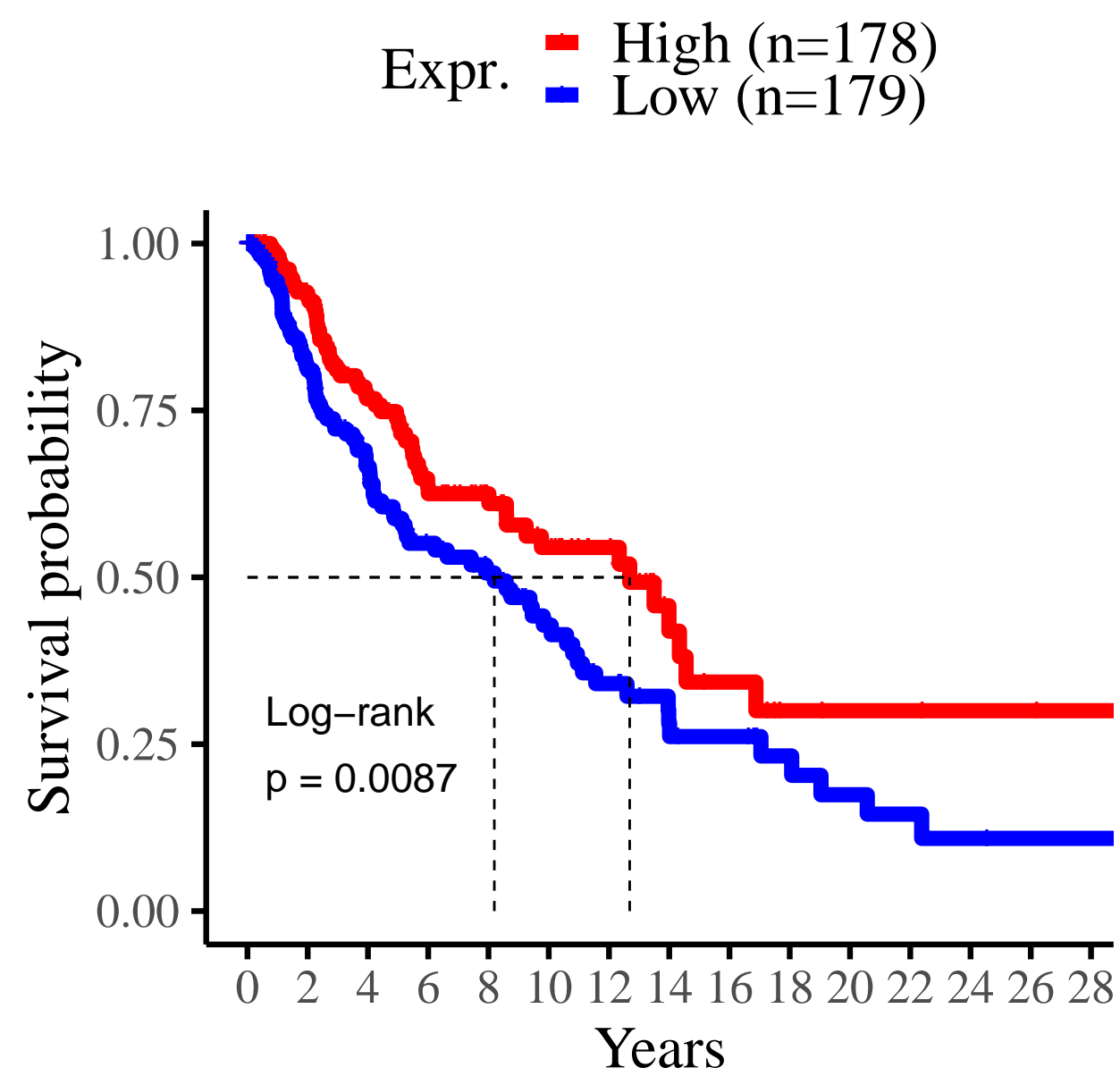


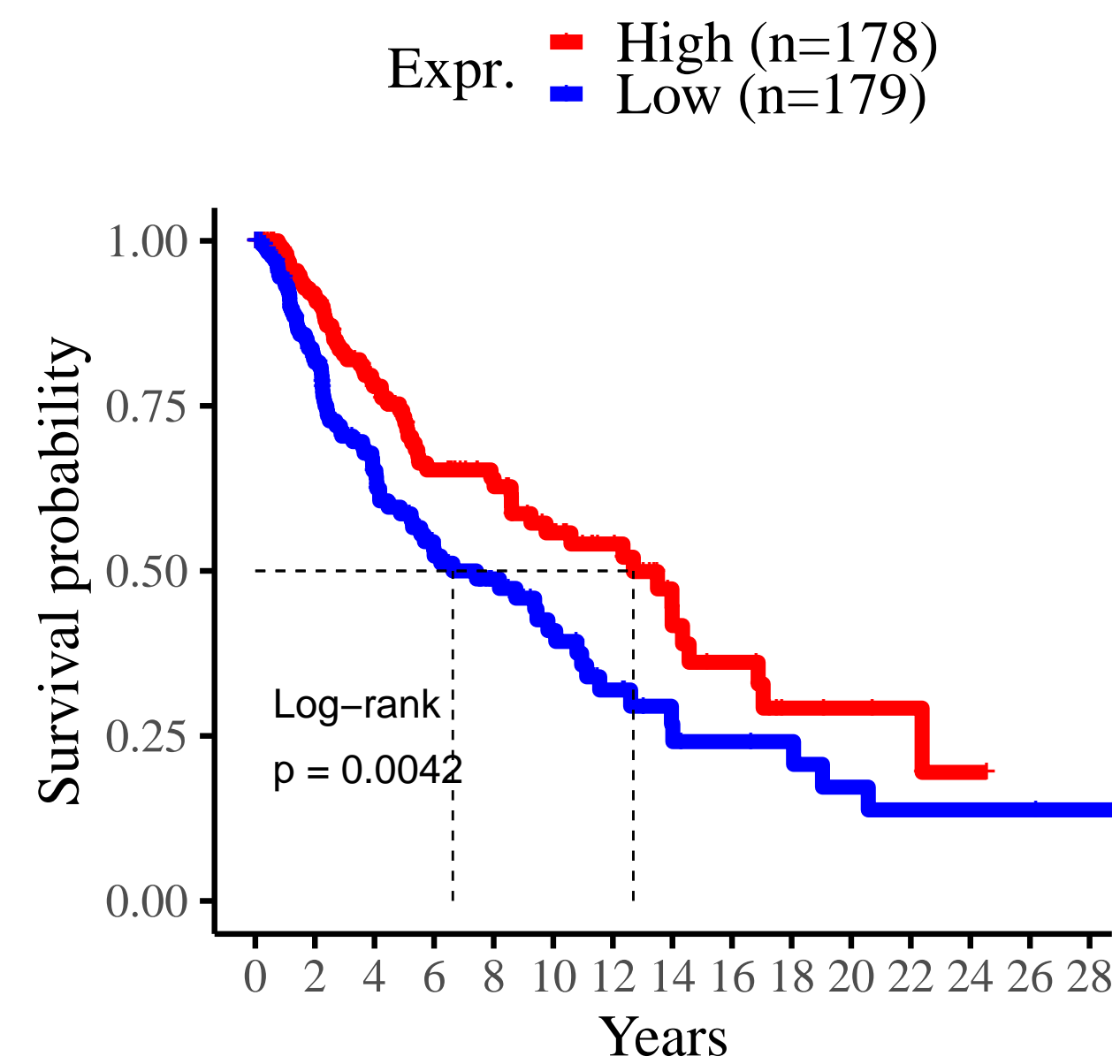
IFNG(SKCM06)



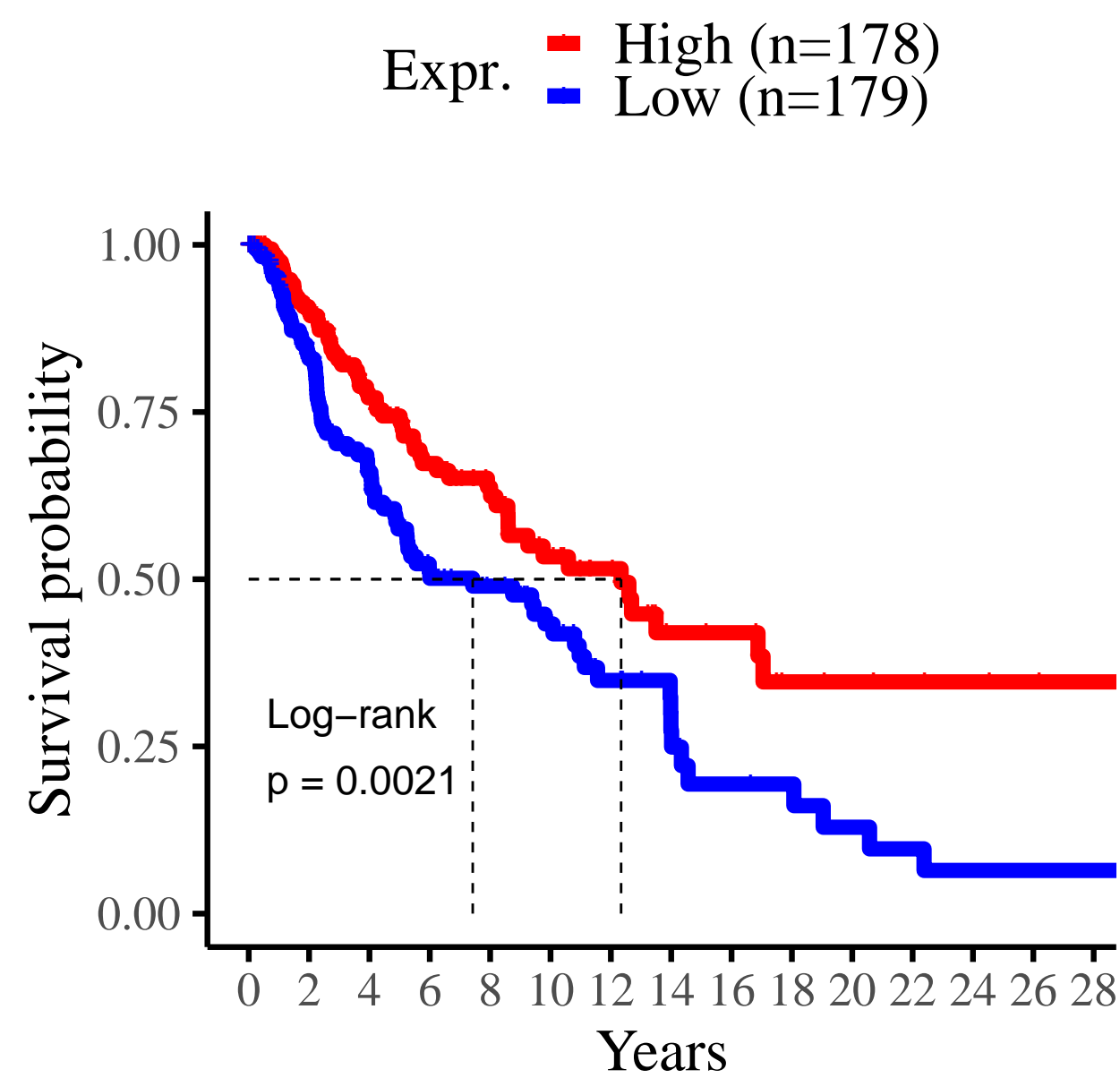
IDO2(SKCM06)



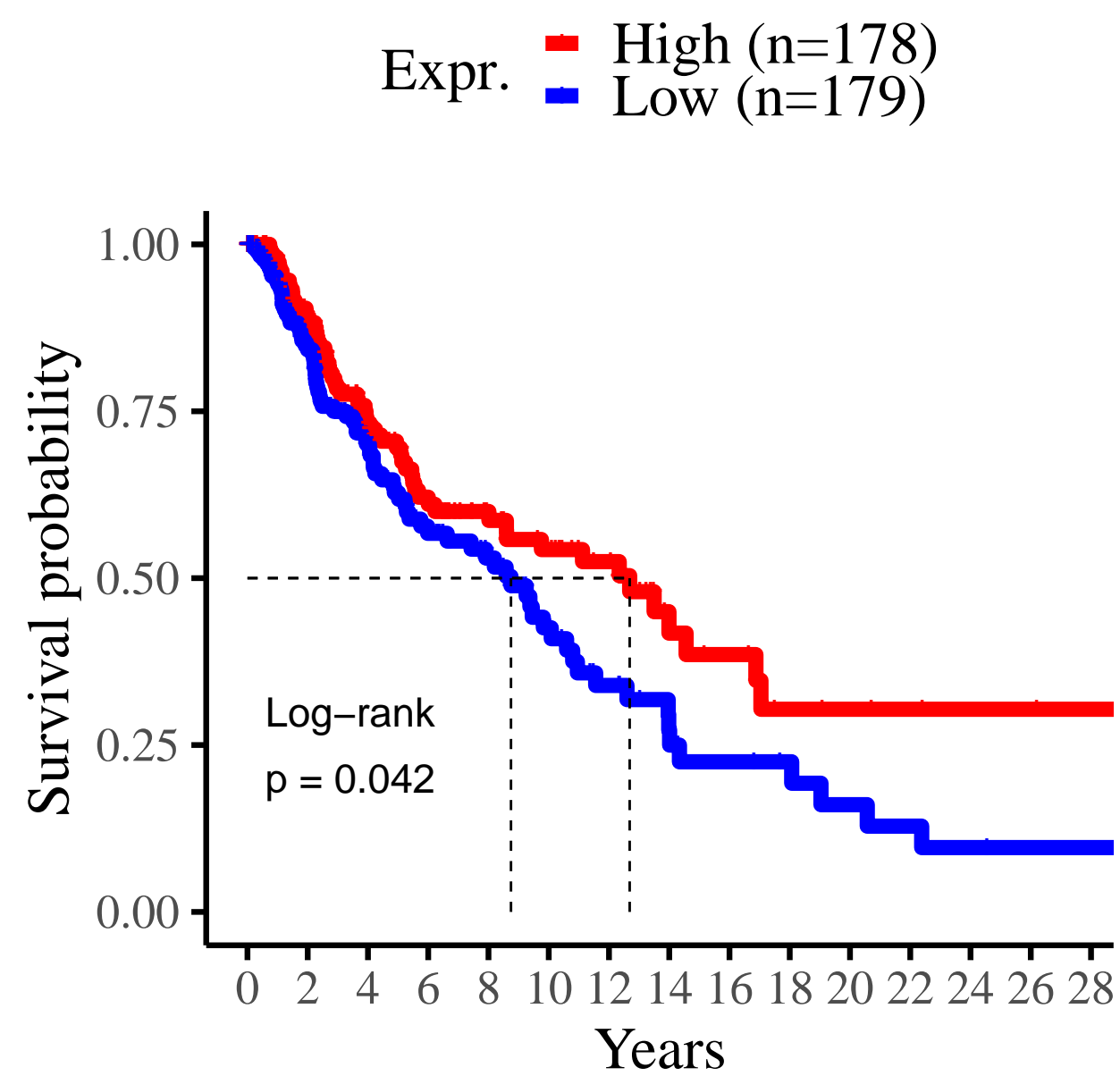
CXCL10(SKCM06)



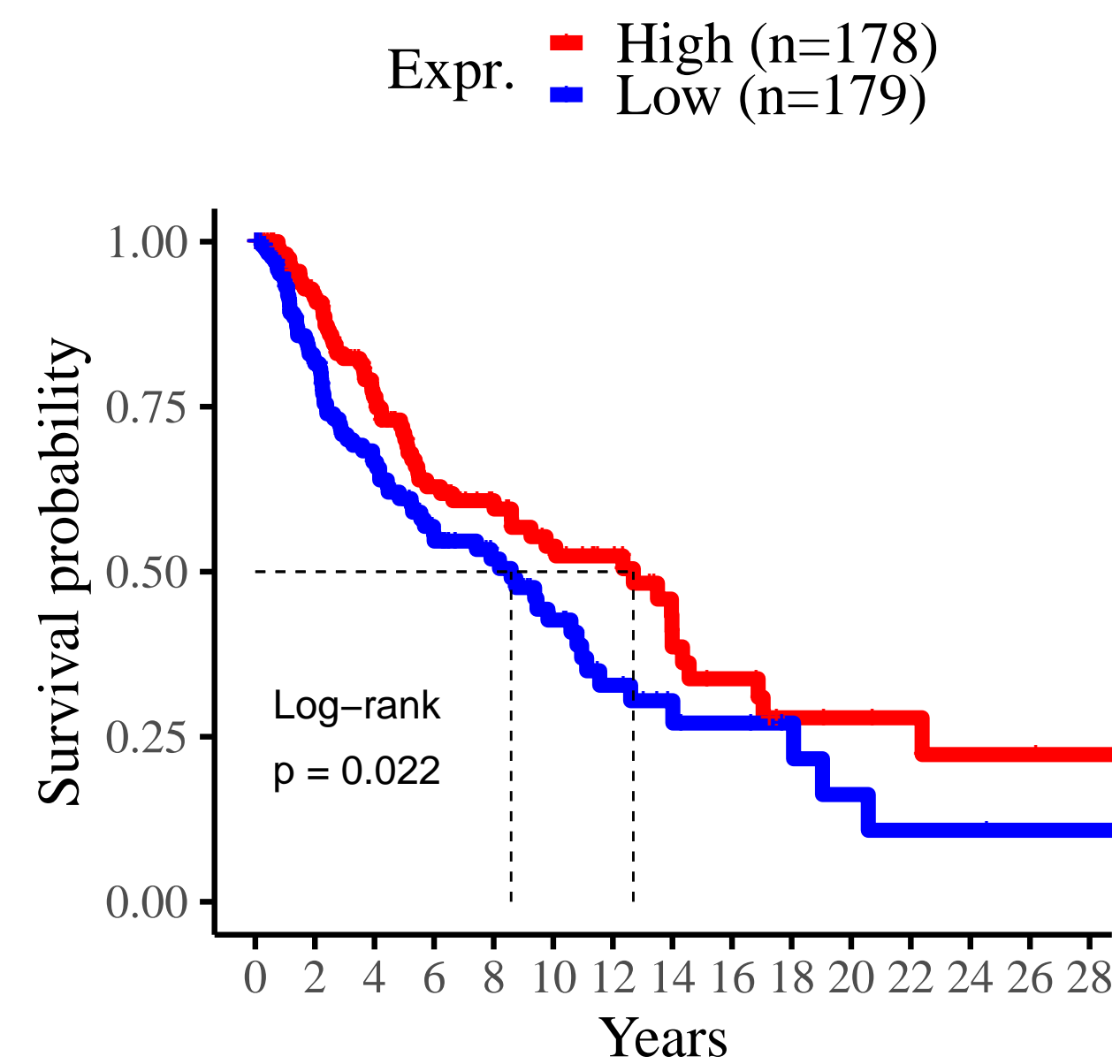
PD-L1(SKCM06)



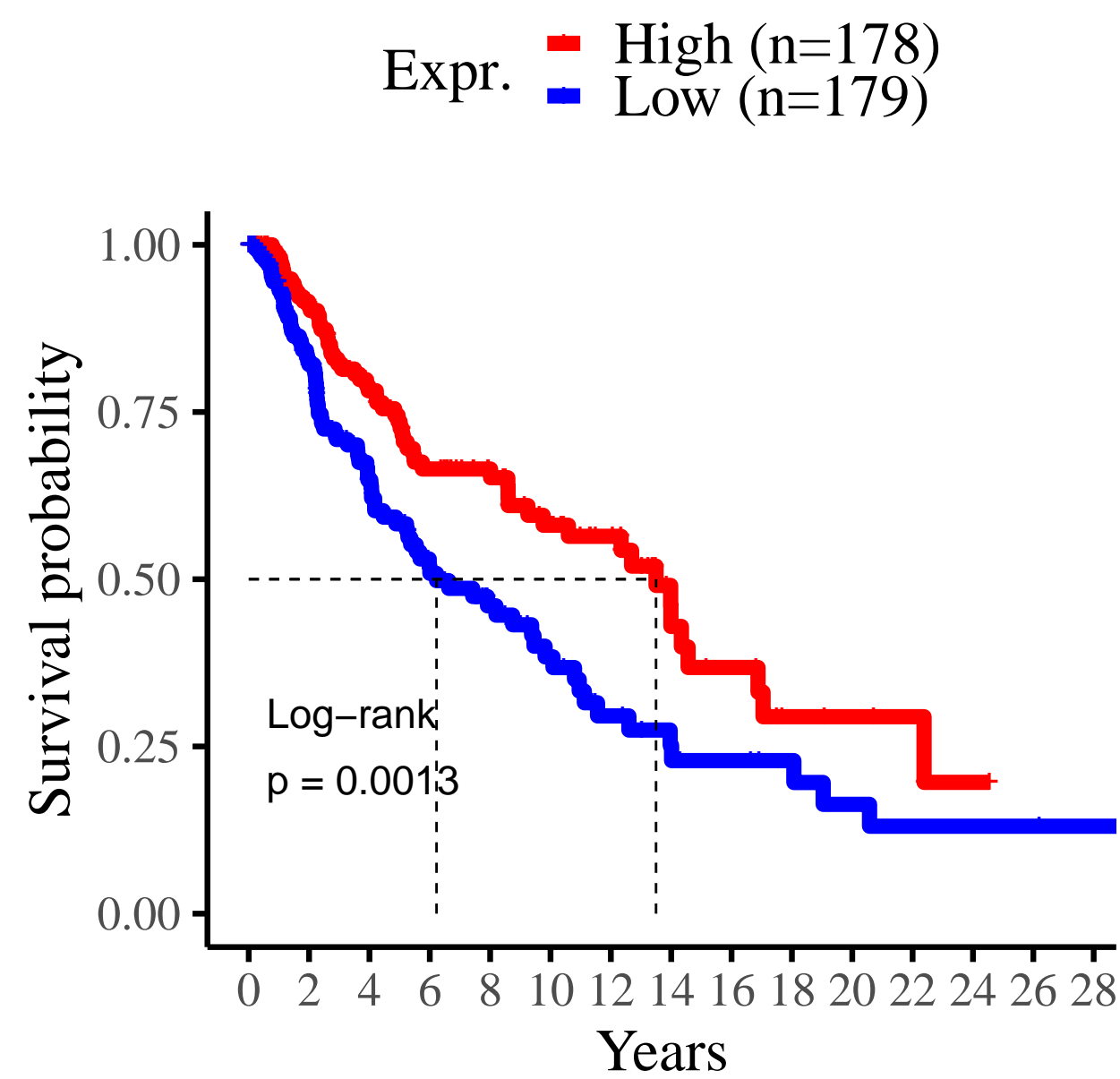
SIGLEC10(SKCM06)



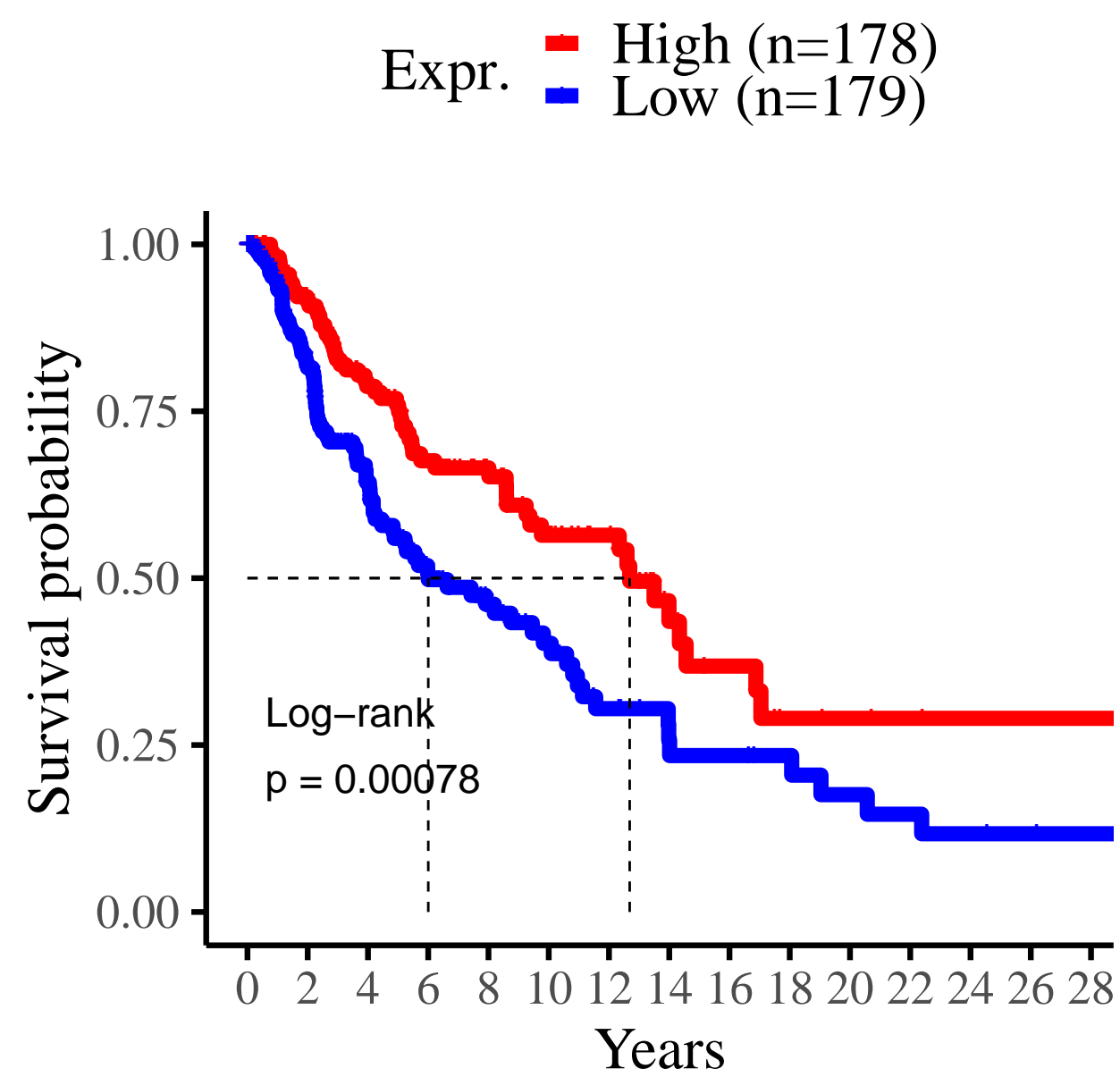
IL10(SKCM06)



CXCL11(SKCM06)

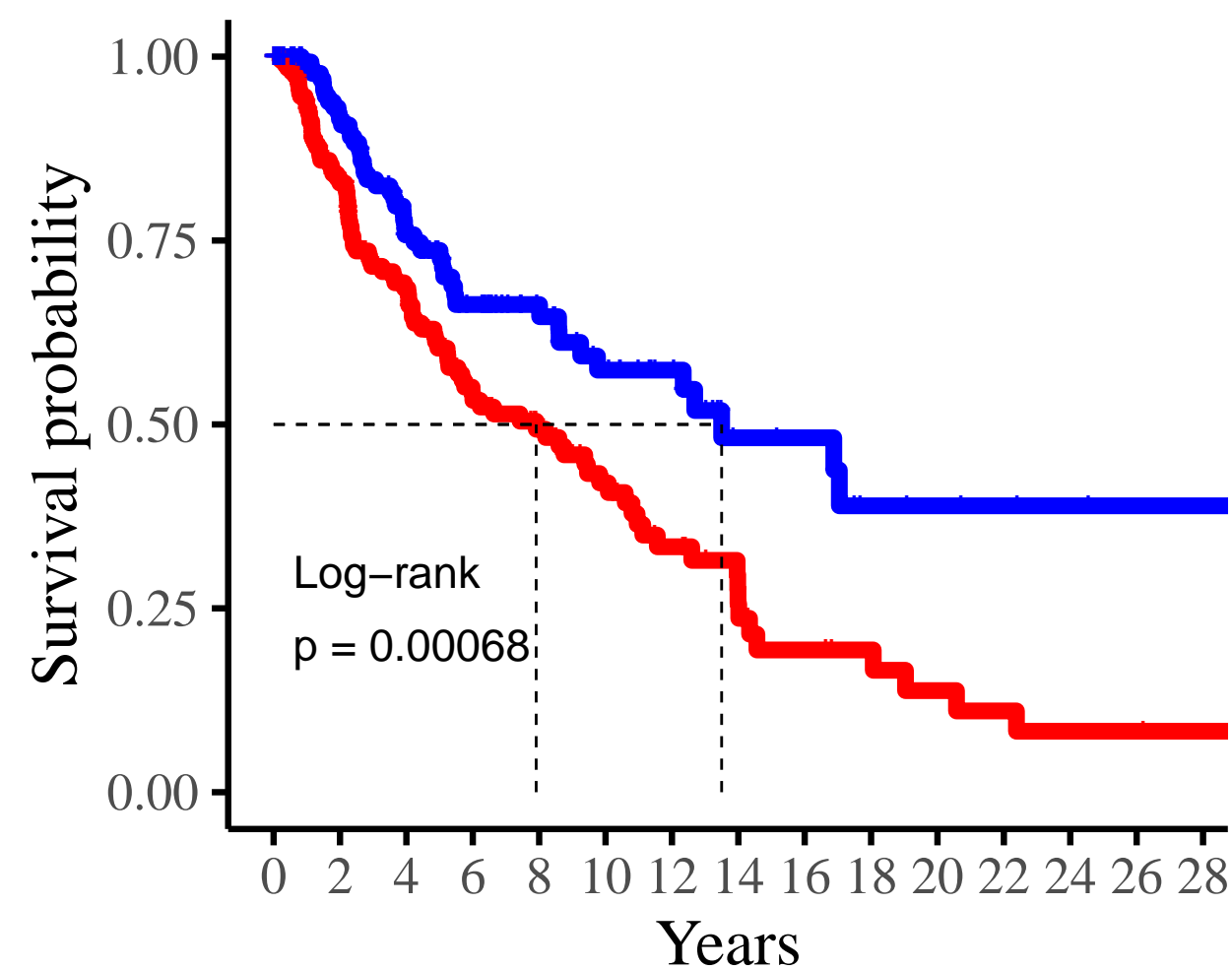


KLRK1(SKCM06)



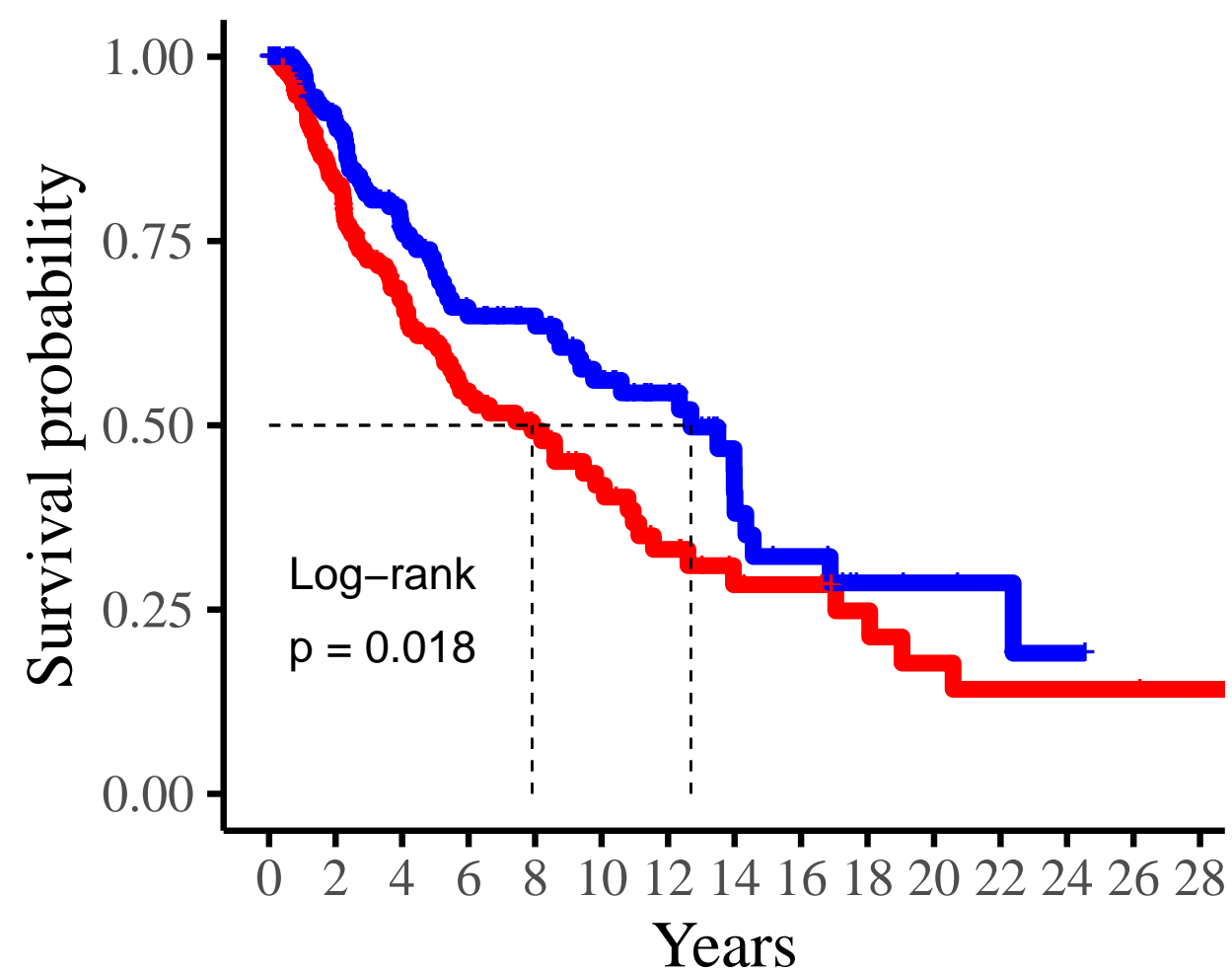
IFNG_IDO2(SKCM06)

Diff. ■ IFNG < IDO2(n=202)
■ IFNG > IDO2(n=155)



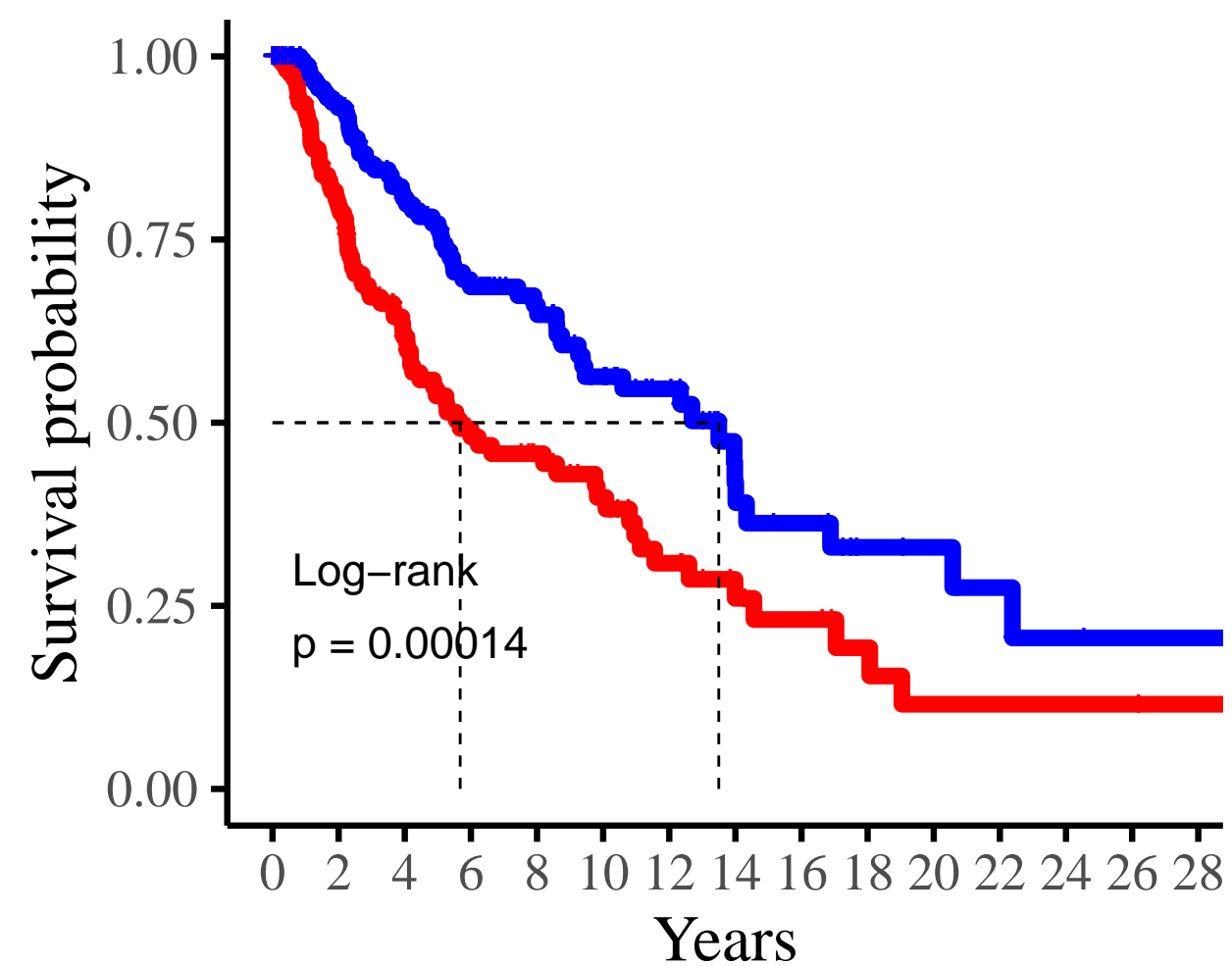
CXCL10_PD-L1(SKCM06)

Diff. ■ CXCL10 < PD-L1(n=188)
■ CXCL10 > PD-L1(n=169)



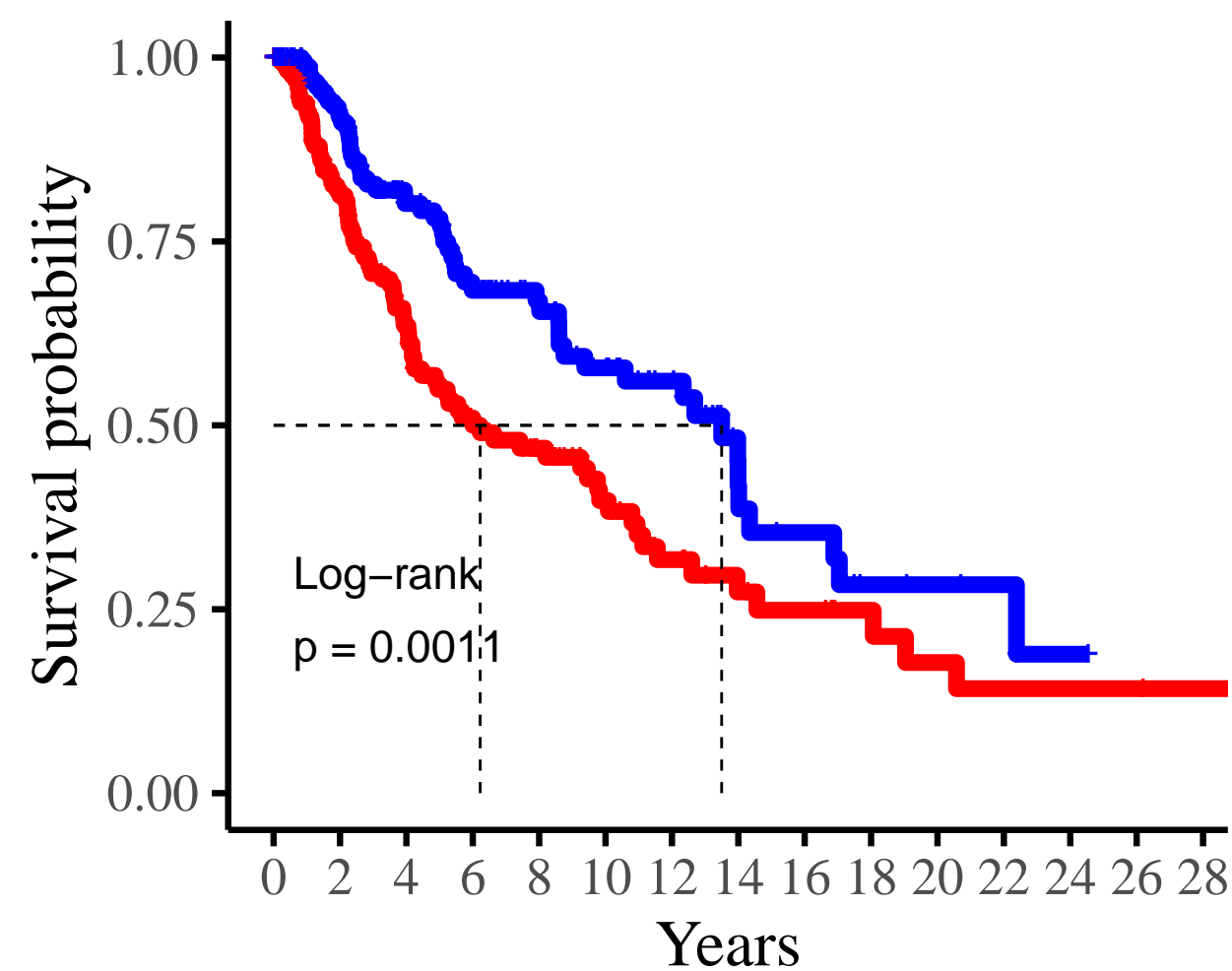
CXCL10_SIGLEC10(SKCM06)

Diff. ■ CXCL10 < SIGLEC10(n=172)
■ CXCL10 > SIGLEC10(n=185)



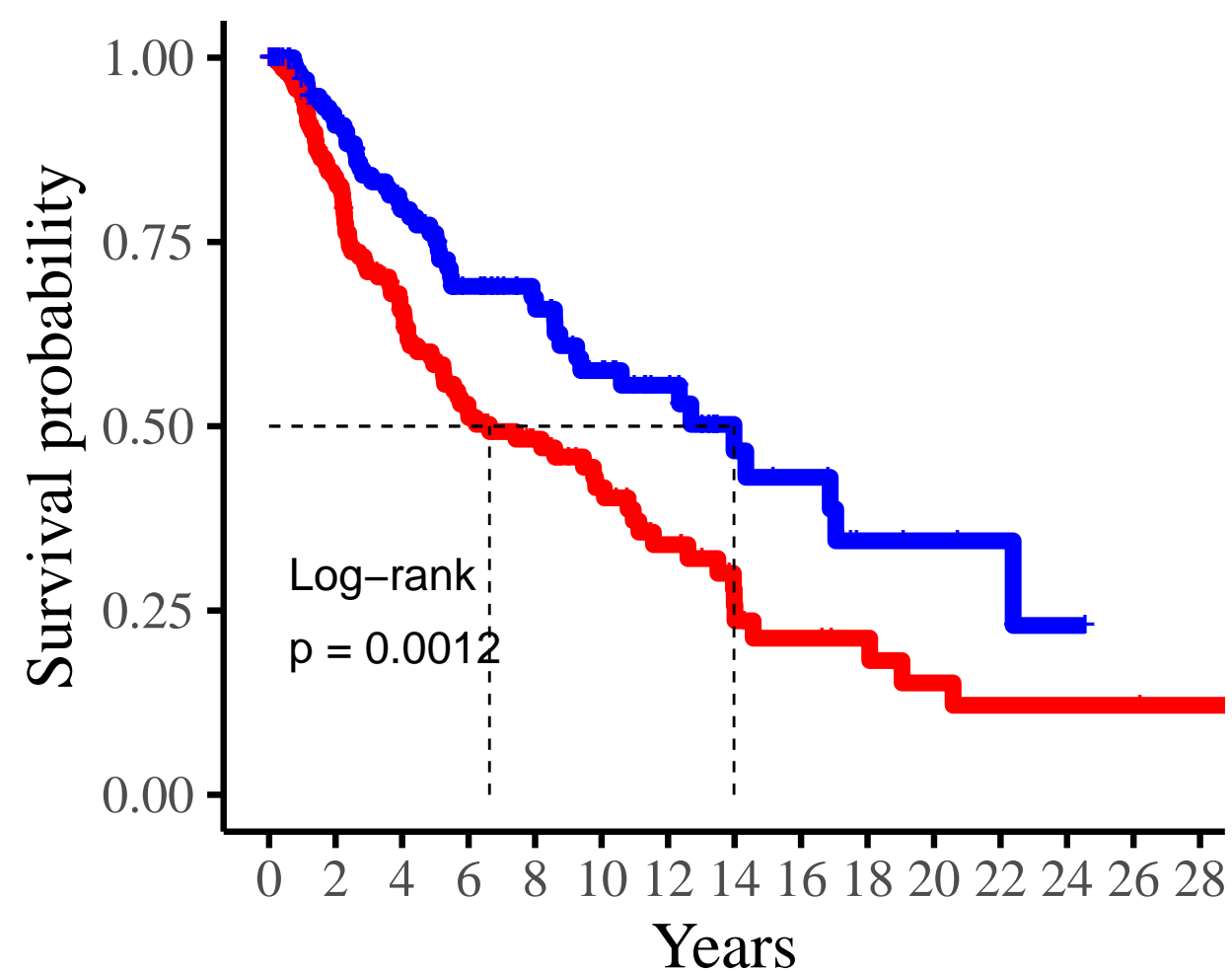
CXCL10_IL10(SKCM06)

Diff. ■ CXCL10 < IL10(n=179)
■ CXCL10 > IL10(n=178)



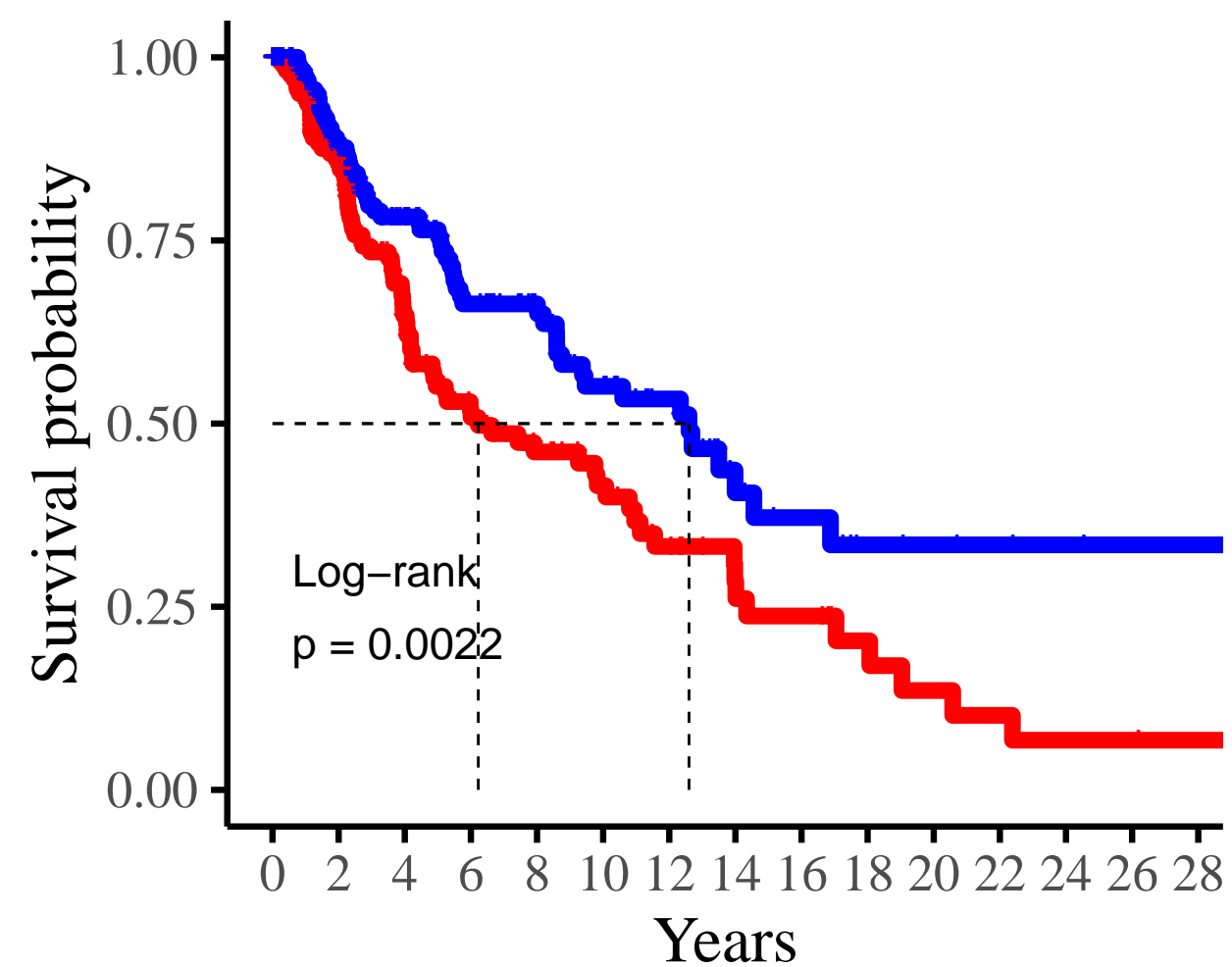
CXCL11_IDO2(SKCM06)

Diff. ■ CXCL11 < IDO2(n=206)
■ CXCL11 > IDO2(n=151)



KLRK1_IL10(SKCM06)

Diff. ■ KLRK1 < IL10(n=172)
■ KLRK1 > IL10(n=185)



IFNG_IL10(SKCM06)

Diff. ■ IFNG < IL10(n=148)
■ IFNG > IL10(n=209)

